

スペースモデリングを応用した 量子モンテカルロ虚時間データの実振動数への解析接続

東北大学大学院理学研究科
大槻純也

- 専門
 - 強相関電子系 (**f**電子系、**d**電子系)
 - 量子多体系の数値計算
- 私とスペースモデリング 今日からはじめました！
 - 2016年10月に大関さんを招待 → 解析接続への応用を思いつく
 - 2017年2月に2編の論文を投稿

というわけで、データサイエンス初心者です。

初心者からの視点で講演いたします！

共同研究者



大関真之 (東北大情報)

情報統計力学
スペースモデリング



品岡寛 (琦大理)

計算物質学
量子モンテカルロ法

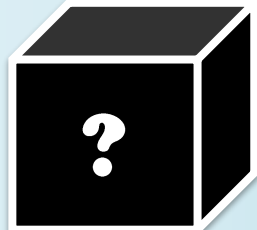


吉見一慶 (東大物性研)

プログラムの高度化
High Performance Comp.

スペースモデリング の応用

= **技術**：圧縮センシング、ノイズ除去



新しい解析接続法

JQ, Ohzeki, Shinaoka, Yoshimi, arXiv:1702.03056

本質を抜き出す 物理の醍醐味



新しい基底の発見

Shinaoka, JQ, Ohzeki, Yoshimi, arXiv:1702.03054

INTRODUCTION:

*Two Problems
in Quantum Many-body Computations*

統計力学：多体系の有限温度の性質

古典系

$$Z = \sum_j e^{-\beta E_j}$$

$\beta = 1/T$: 逆温度

量子系

$$Z = \text{Tr} e^{-\beta \mathcal{H}}$$

\mathcal{H} : ハミルトニアン行列

次元 = $\mathcal{O}(e^N)$

対角化できない

c.f. 量子力学の時間発展演算子

$$U(t) = e^{-it\mathcal{H}}$$

虚時間 $it \rightarrow \tau$ $\int_0^\beta d\tau$

→ 量子モンテカルロ法
ダイアグラム展開

なぜ解析接続が必要か

知りたい量：動的応答

$$\rho(\omega) = -\frac{1}{\pi} \text{Im} G^R(\omega)$$

例：一粒子励起スペクトル
磁気励起スペクトル

フーリエ
変換

↑
解析接続

遅延グリーン関数

$$G^R(t) = -i\theta(t)\langle [A(t), B]_{\pm} \rangle$$

$$A(t) = e^{iHt} A e^{-iHt}$$

扱いにくい

“虚時間”
 $it \rightarrow \tau$

虚時間グリーン関数

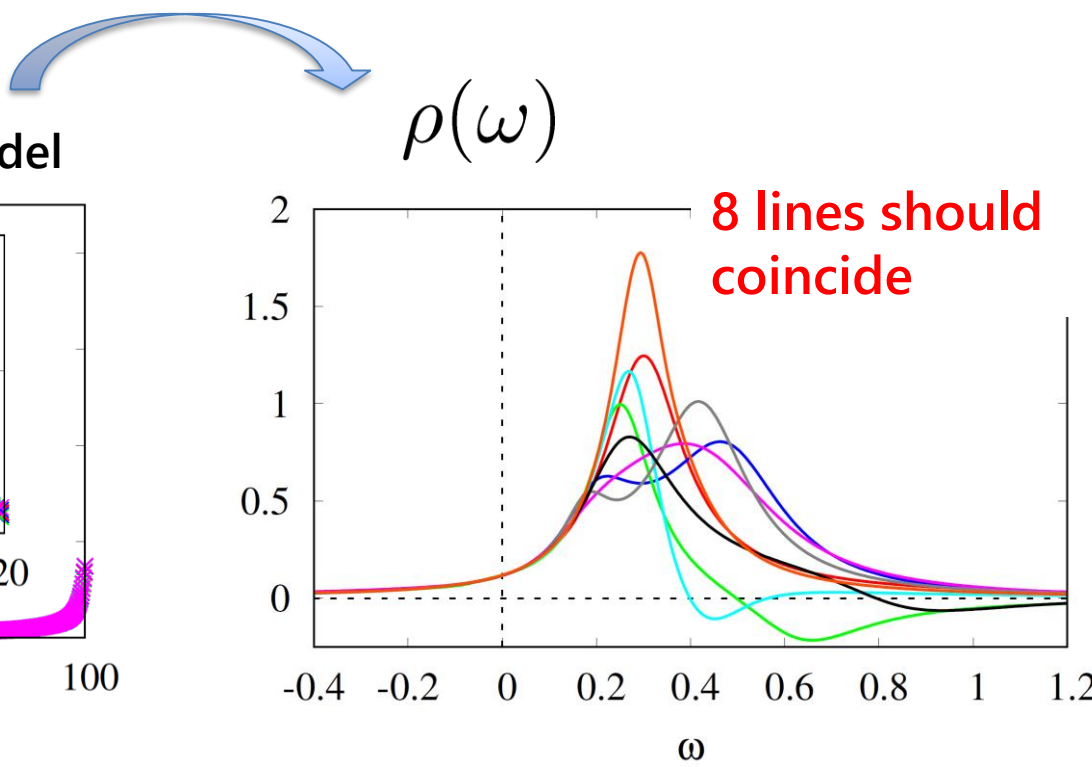
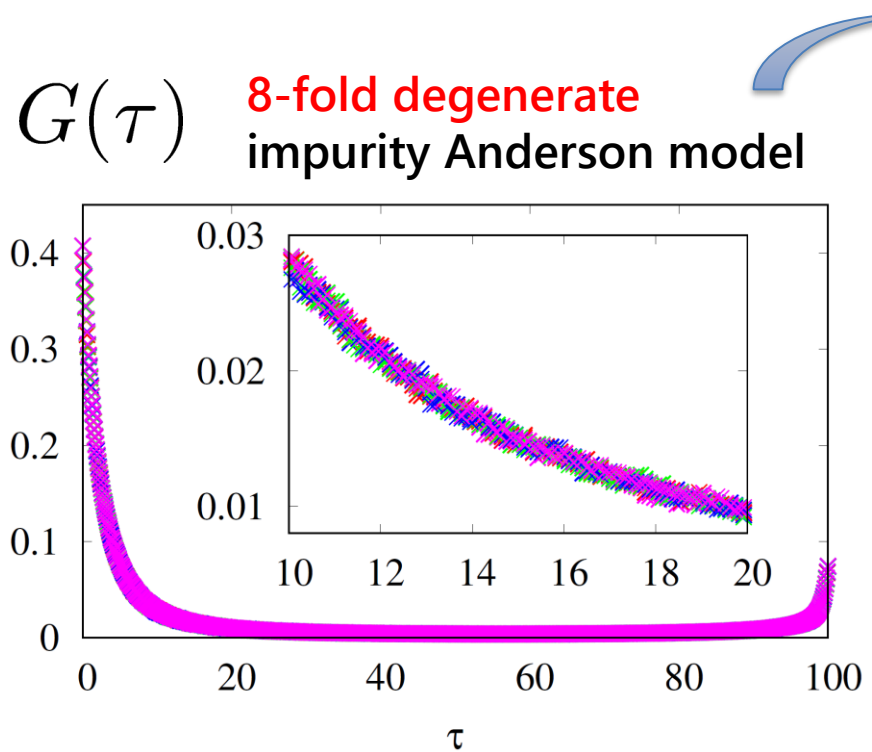
$$G(\tau) = -\langle T_{\tau} A(\tau) B \rangle$$

$$A(\tau) = e^{\tau H} A e^{-\tau H}$$

扱いやすい
(ダイアグラム展開
量子モンテカルロ法)

The standard method: Pade近似

Vidberg, Serene, 1977



CT-QMC data

$$G = K\rho$$

G から ρ を求める逆問題

Lehmann表示

←
離散化

$$G(\tau) = \int_{-\infty}^{\infty} d\omega K_{\pm}(\tau, \omega) \rho(\omega)$$

$$K_{\pm}(\tau, \omega) = \frac{e^{-\tau\omega}}{1 \pm e^{-\beta\omega}}$$

フェルミオン
ボゾン

difficulty: K は悪性な行列 (ill-conditioned matrix)

最小二乗解

$$\rho = (K^t K)^{-1} K^t G$$

不安定 (NaN)

誤差を考慮

$$\chi^2(\rho) \equiv \frac{1}{2} \|G - K\rho\|_2^2 < \eta$$

解が無数に存在 (ほとんどは非物理的)
 →ノイズに敏感に反応

Maximum entropy method

M. Jarrell, J. E. Gubernatis, Phys. Rep. 269, 133 (1996)

$$F(\boldsymbol{\rho}) = \frac{1}{2} \|\mathbf{G} - K\boldsymbol{\rho}\|_2^2 + \boxed{\alpha \sum_i [\rho_i - m_i - \rho_i \log(\rho_i/m_i)]}$$

m : “default model” = 事前情報
 m からのズレに対して罰金

Stochastic method

- A. W. Sandvik, PRB 57, 10287 (1998)
- S. Fuchs, T. Pruschke, and M. Jarrell, PRE 81, 056701 (2010)
- K. S. D. Beach, arXiv:cond-mat/0403055
- A. W. Sandvik, PRE 94, 063308 (2016)

Growing attempts

- K. S. D. Beach, R. J. Gooding, and F. Marsiglio, PRB 61, 5147 (2000)
- A. Dirks *et al.*, Phys. Rev. E 87, 023305 (2013).
- F. Bao *et al.*, PRB 94, 125149 (2016)
- O. Goulko *et al.*, PRB 95, 014102 (2017).
- G. Bertaina, D. Galli, and E. Vitali, arXiv:1611.08502.
- L.-F. Arsenault *et al.*, arXiv:1612.04895.

PROBLEM I

解析接続

$$G(\tau) \rightarrow \rho(\omega)$$

虚時間

実振動数

一粒子グリーン関数 fermionic

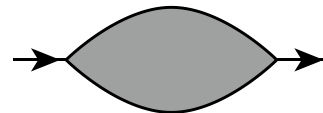
$$G(\tau - \tau') = -\langle T_\tau c(\tau) c^\dagger(\tau') \rangle$$



一粒子励起スペクトル

二粒子相関関数 bosonic

$$\chi(\tau) = \langle T_\tau c^\dagger(\tau) c(\tau) c^\dagger(\tau') c(\tau') \rangle$$



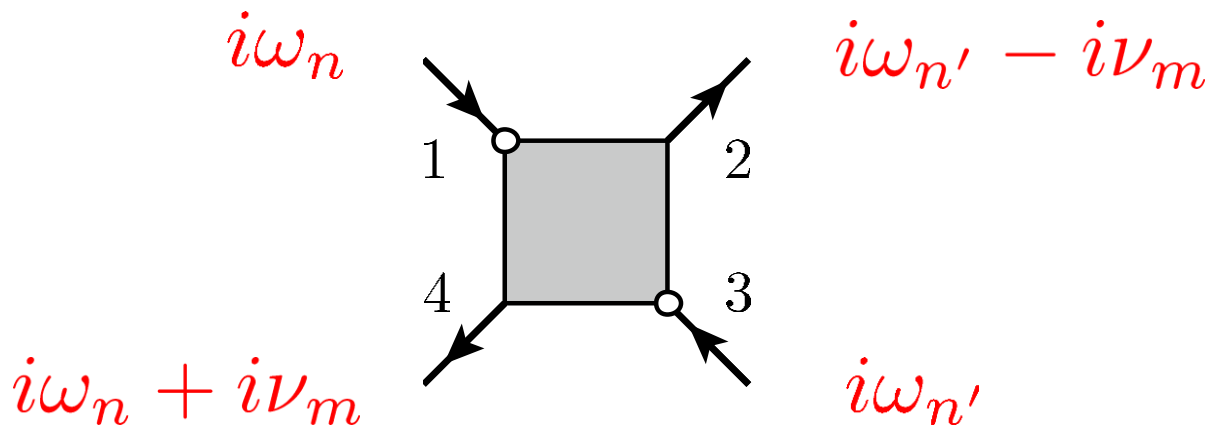
スピノ励起
電荷励起

二粒子グリーン関数 More complicated object

$$\chi(\tau_1, \tau_2, \tau_3, \tau_4) = \langle T_\tau c^\dagger(\tau_1) c(\tau_2) c^\dagger(\tau_3) c(\tau_4) \rangle$$

有効相互作用

有効相互作用



$$\Gamma_{1234}(i\omega_n, i\omega_{n'}; i\nu_m)$$

強相関電子系では
振動数依存性が重要

1, 2, 3, 4 内部自由度

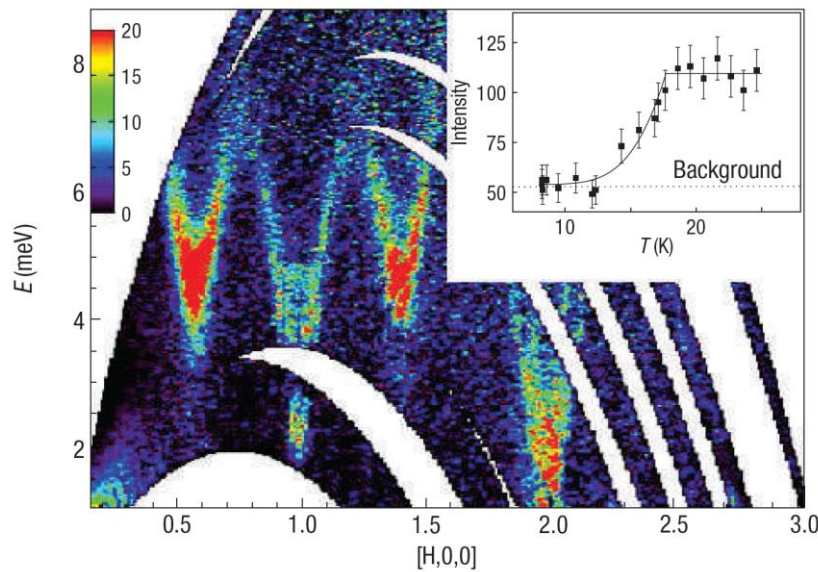
$\omega_n, \omega_{n'}$ フェルミオン松原振動数

ν_m ボゾン松原振動数

有効相互作用が必要

$\chi(\mathbf{q}, \omega)$

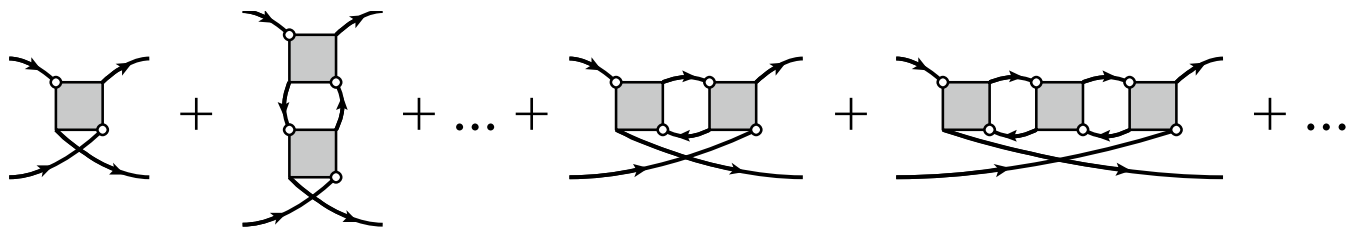
例：
スピニン波励起



中性子非弾性散乱

URu_2Si_2
Wiebe et al. 2007

有効相互作用 \sim 有効相互作用
テンソル積



PROBLEM II

メモリ容量、計算時間

$$\Gamma(i\omega_n, i\omega_{n'}; i\nu_m)$$

- Two problems are “*two sides of the same coin*”



- Solution to
 - Problem I (analytical continuation)
スパースモデリング = ノイズ除去、情報抽出
 - Problem II (two-particle objects)

実時間と虚時間の中間表現 = 情報圧縮

SOLUTION to problem 1

Sparse-Modeling (SpM) Analytical Continuation

JO, Ohzeki, Shinaoka, Yoshimi, arXiv:1702.03056

$$y = Ax$$

$$\begin{matrix} / \\ M \end{matrix} \begin{matrix} | \\ y \end{matrix} = \begin{matrix} A \end{matrix}$$

$$\times \begin{matrix} | \\ x \end{matrix} \begin{matrix} \backslash \\ N \end{matrix}$$

$M < N$ 解が一意に定まらない
劣決定系



スパース性

「 x の N 個の成分の内、ほとんどはゼロ」

0
0
0
0
0

解析接続

$$G = K\rho$$

スパース性

||

「ノイズの影響を受けていない真の情報は少ない」

スパース性は基底依存

Q. ρ がスパースになる基底は何か？

A.

$$\rho' = V^t \rho \quad G' = U^t G$$

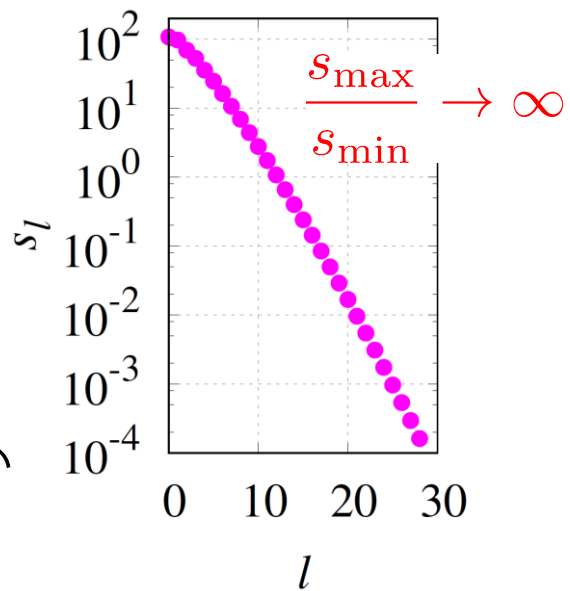
特異値分解

$$K = U S V^t$$

$\therefore K$ は悪性な行列 (ill-conditioned matrix)

$$\begin{aligned} \chi^2(\rho) &= \frac{1}{2} \|G - K\rho\|_2^2 \\ &= \frac{1}{2} \|G' - S\rho'\|_2^2 \end{aligned}$$

ρ' のうち、特異値の小さい基底は G' に影響しない



手順 2 : L1正則化

スパース性

$$F(\rho') \equiv \frac{1}{2} \|G' - S\rho'\|_2^2 + \boxed{\lambda \|\rho'\|_1}$$

L1ノルム

$$\|\rho'\|_1 \equiv \sum_i |\rho'_i|$$

LASSO型最適化問題
 (Least Absolute Shrinkage of Selection Operators)
 R. Tibshirani, J. R. Stat. Soc. B 58, 267 (1996)

拘束条件の下で F を最小化

非負性

$$\rho_i \geq 0,$$

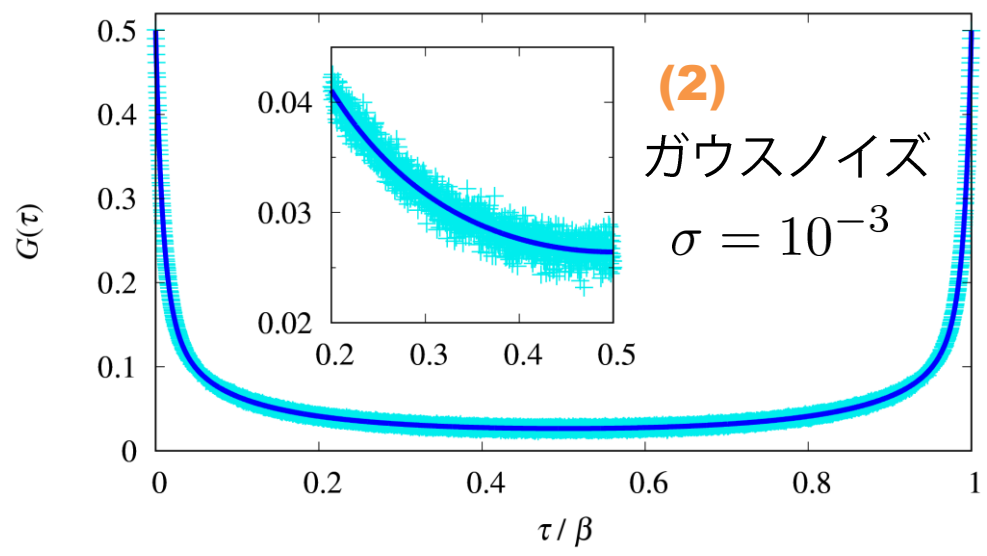
総和則

$$\sum_i \rho_i = 1$$

(注 : 元の基底)

ADMMアルゴリズム (alternating direction method of multipliers)
 Boyd et al., Foundations and Trends in Machine Learning 3, 1 (2011)

$$G(\tau)$$



(通常はQMCで計算)

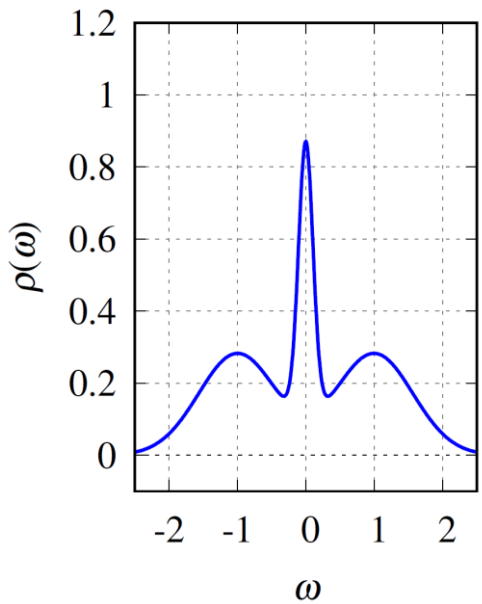
(1) $G = K\rho$

◀

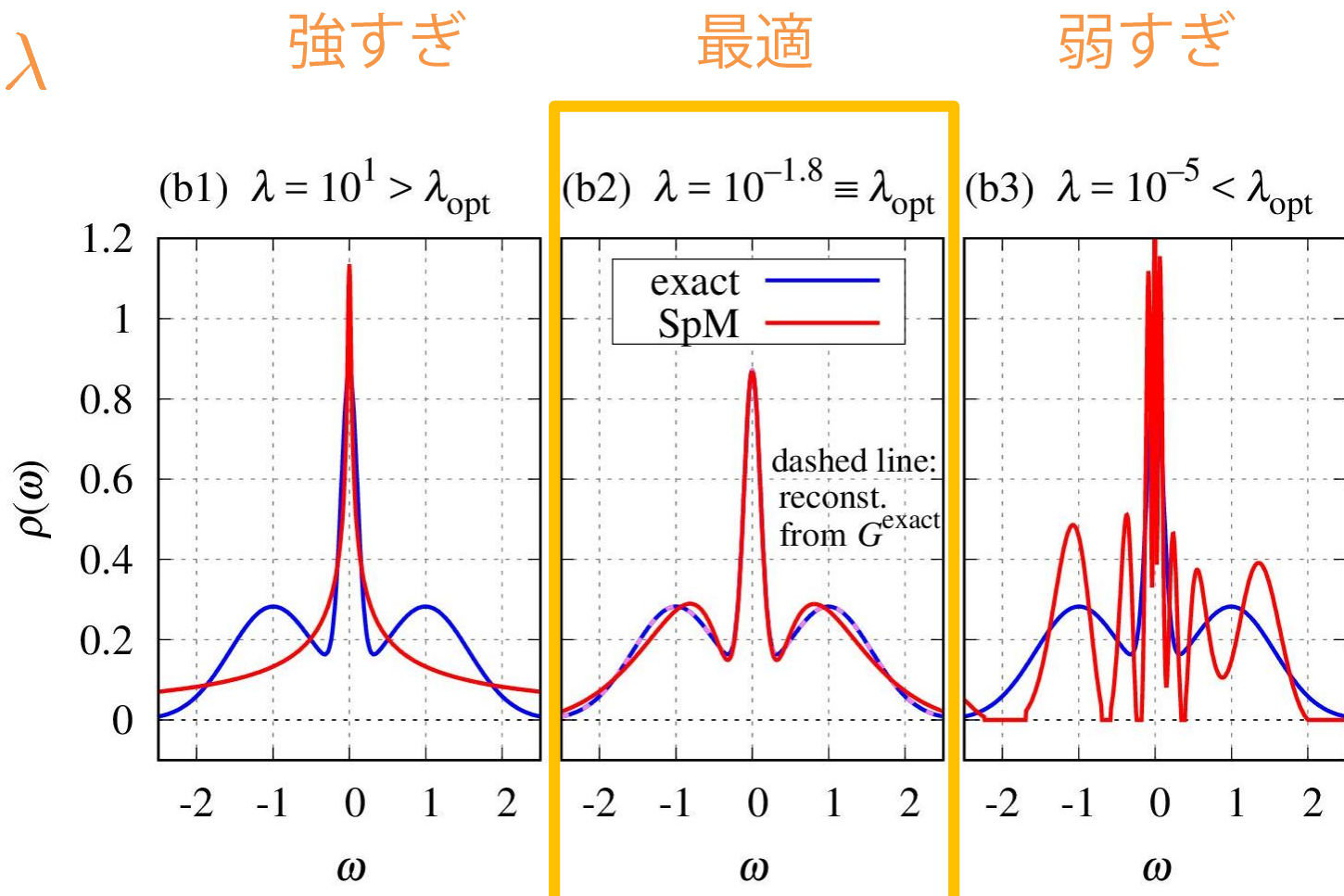
解析接続

▶ ?

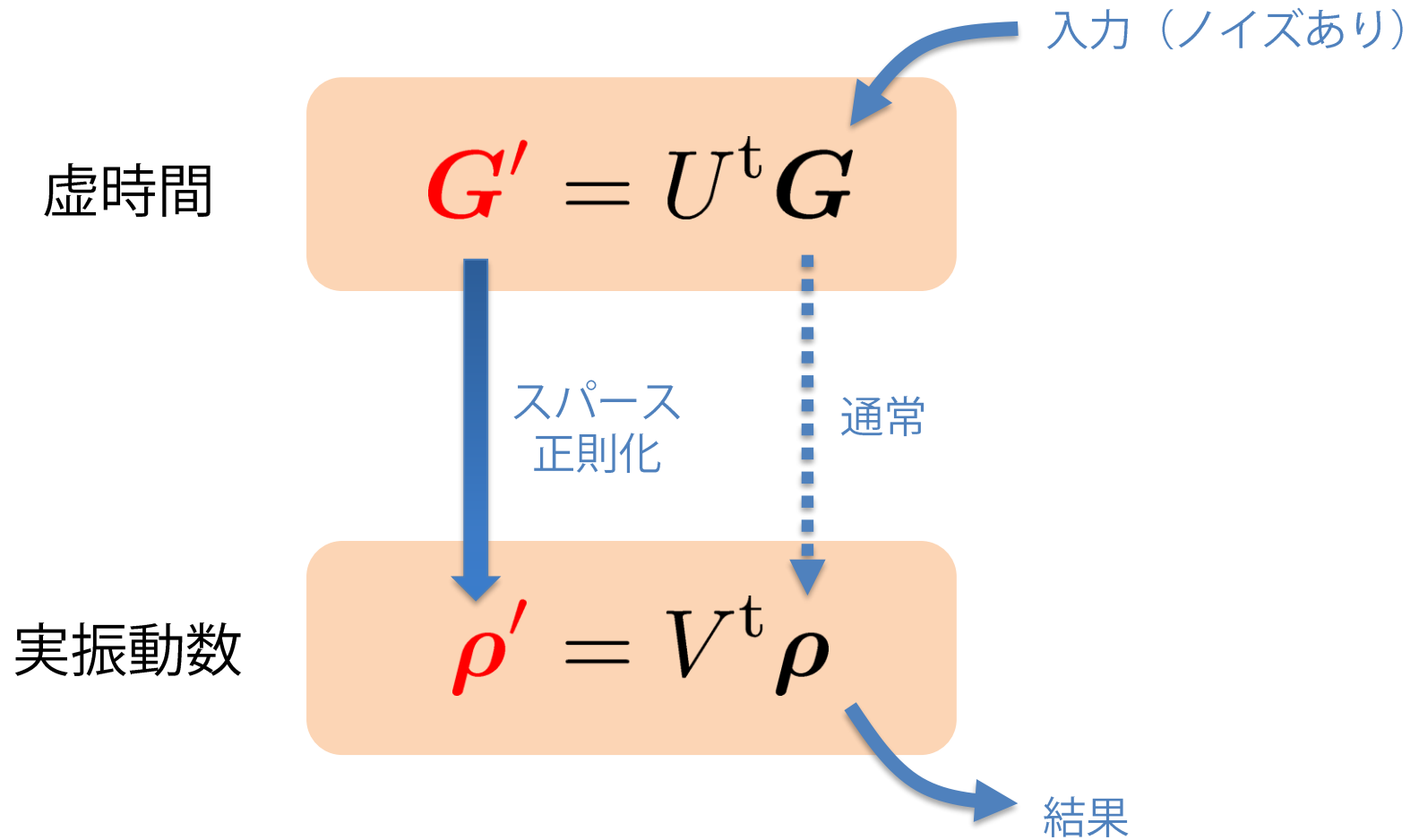
$$\rho$$



正則化パラメーター



なぜうまくいくか



正則化パラメーター

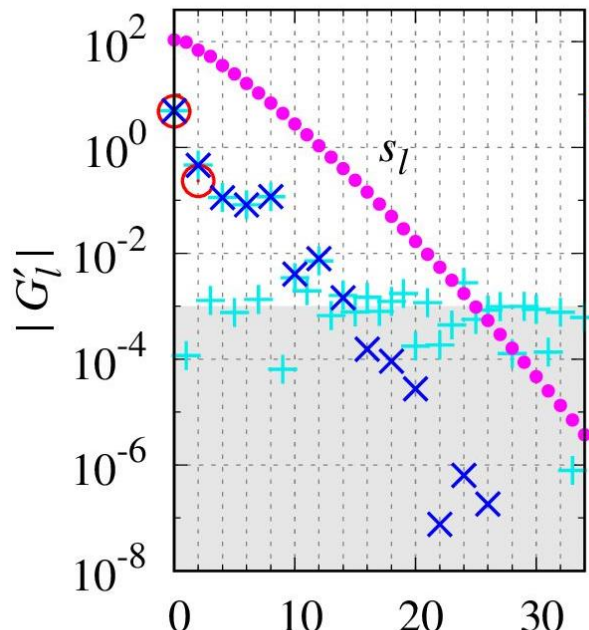
λ

強すぎ

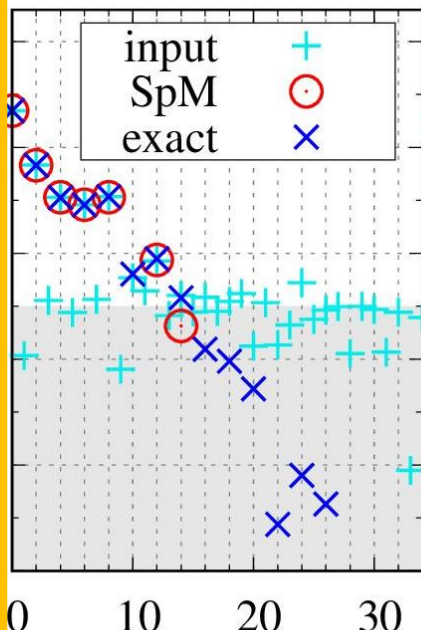
最適

弱すぎ

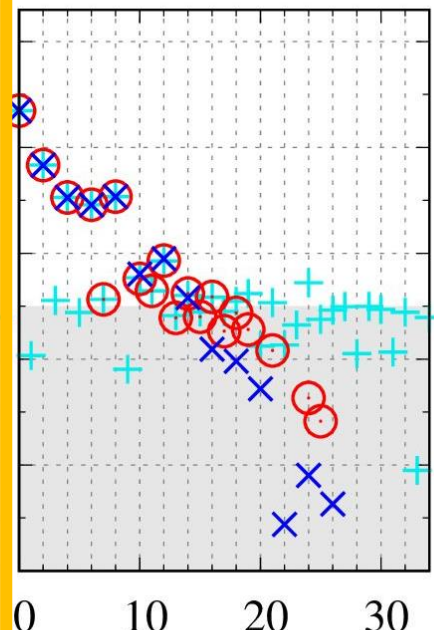
(a1) $\lambda = 10^1 > \lambda_{\text{opt}}$



(a2) $\lambda = 10^{-1.8} \equiv \lambda_{\text{opt}}$



(a3) $\lambda = 10^{-5} < \lambda_{\text{opt}}$



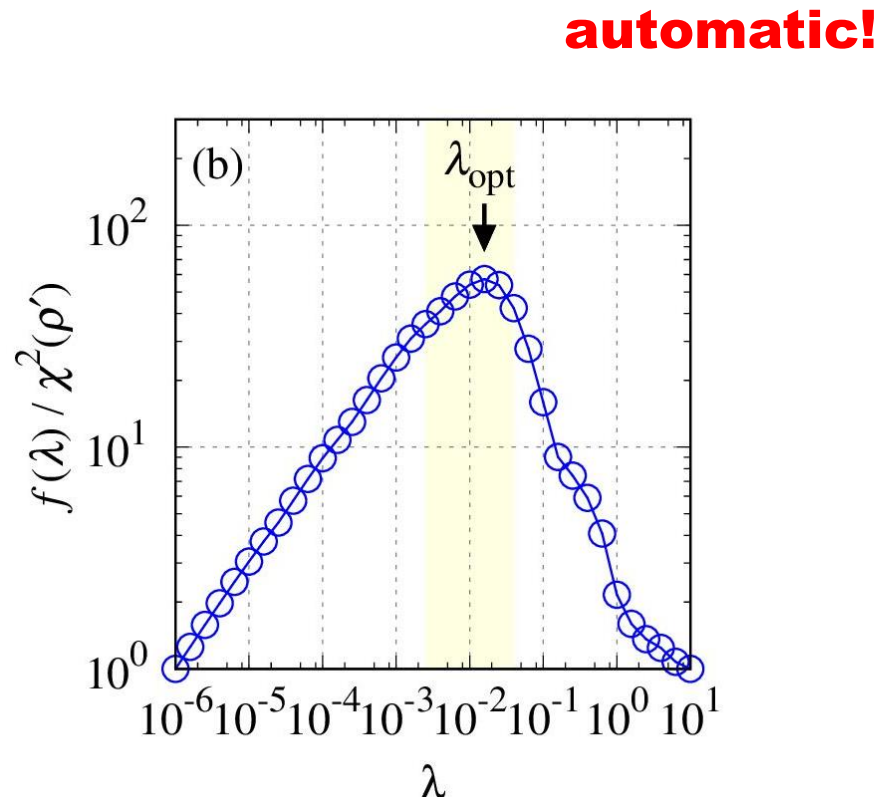
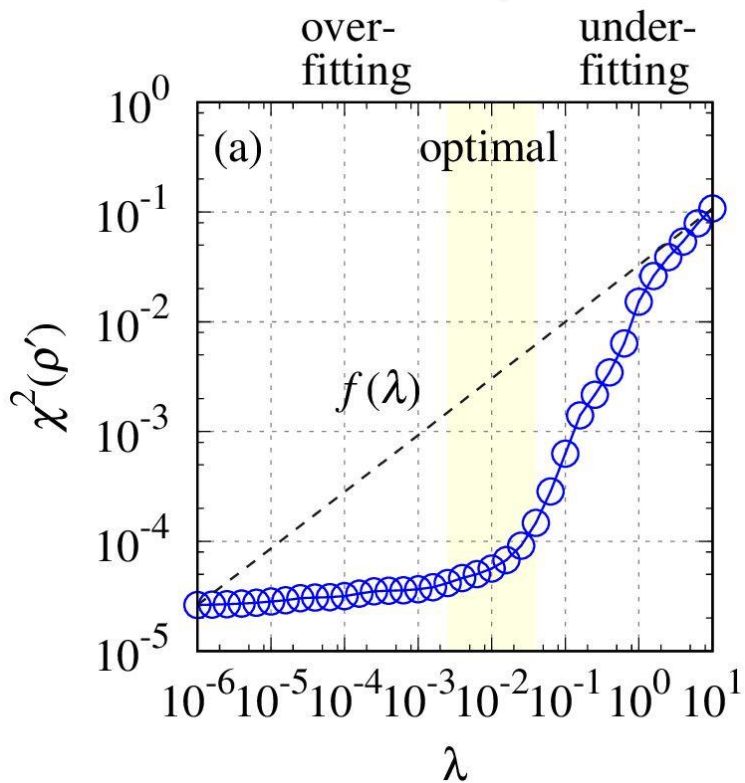
$\sigma = 10^{-3}$

インプット (ノイズあり)
 厳密 (ノイズなし)
 結果

正則化パラメーター λ の決定

For a given λ

$$\min_{\rho'} \left\{ \frac{1}{2} \|G' - S\rho'\|_2^2 + \lambda \|\rho'\|_1 \right\} \quad \text{subj. to constraints}$$



✓ スパースモデリング (SpM) 解析接続法

1. 特異値分解：効率の良い基底へ変換
 2. L1正則化：有意な情報を抽出（基底選択）
- 手法として
 - ノイズに強い、パラメータフリー
 - 悪性の(**ill-conditioned**な)逆問題の一般的解法
 - 根本的な視点
 - 虚時間データがどれだけ情報を持っているか

Our code will be available soon on GitHub

SOLUTION to problem II

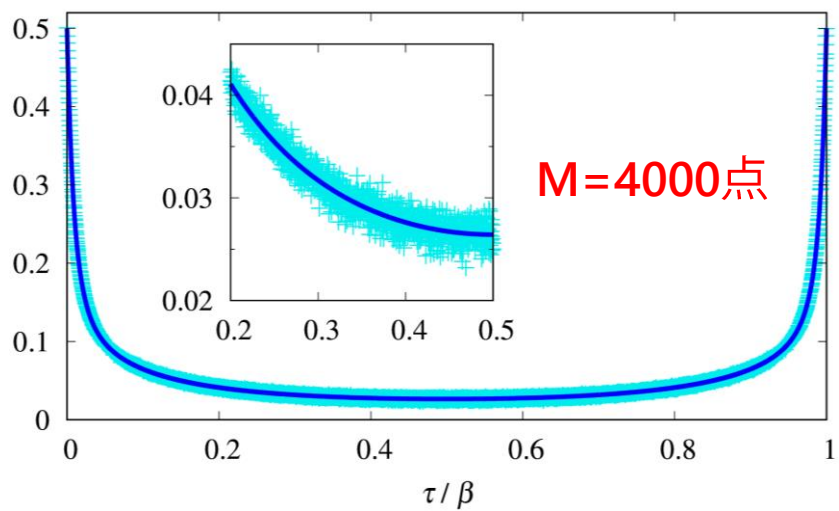
Intermediate Representation (IR)

Shinaoka, JO, Ohzeki, Yoshimi, arXiv:1702.03054

あらためてデータを見てみる

元の虚時間データ

$$G(\tau)$$

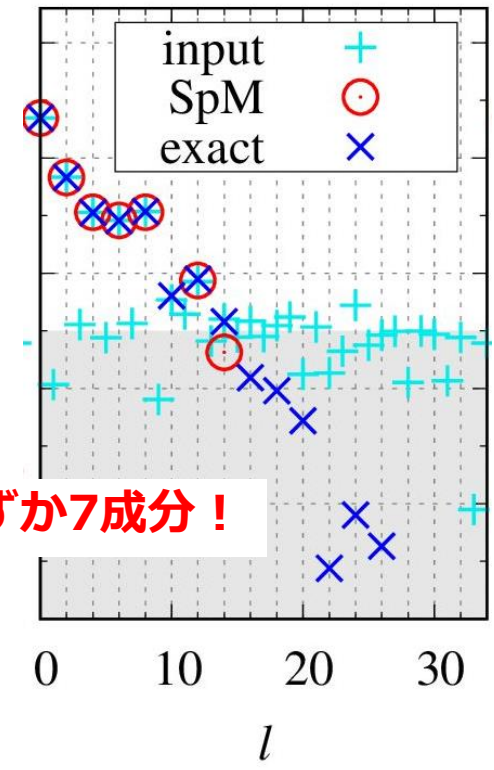


基底変換



変換後

$$G' = U^t G$$



$$G' = U^t G$$

「情報圧縮に使えそう」

新しい直交基底

$$G(\tau) = \int_{-\omega_{\max}}^{\omega_{\max}} d\omega K_{\pm}(\tau, \omega) \rho(\omega)$$

$$K_{\pm}(\tau, \omega) = \frac{e^{-\tau\omega}}{1 \pm e^{-\beta\omega}}$$

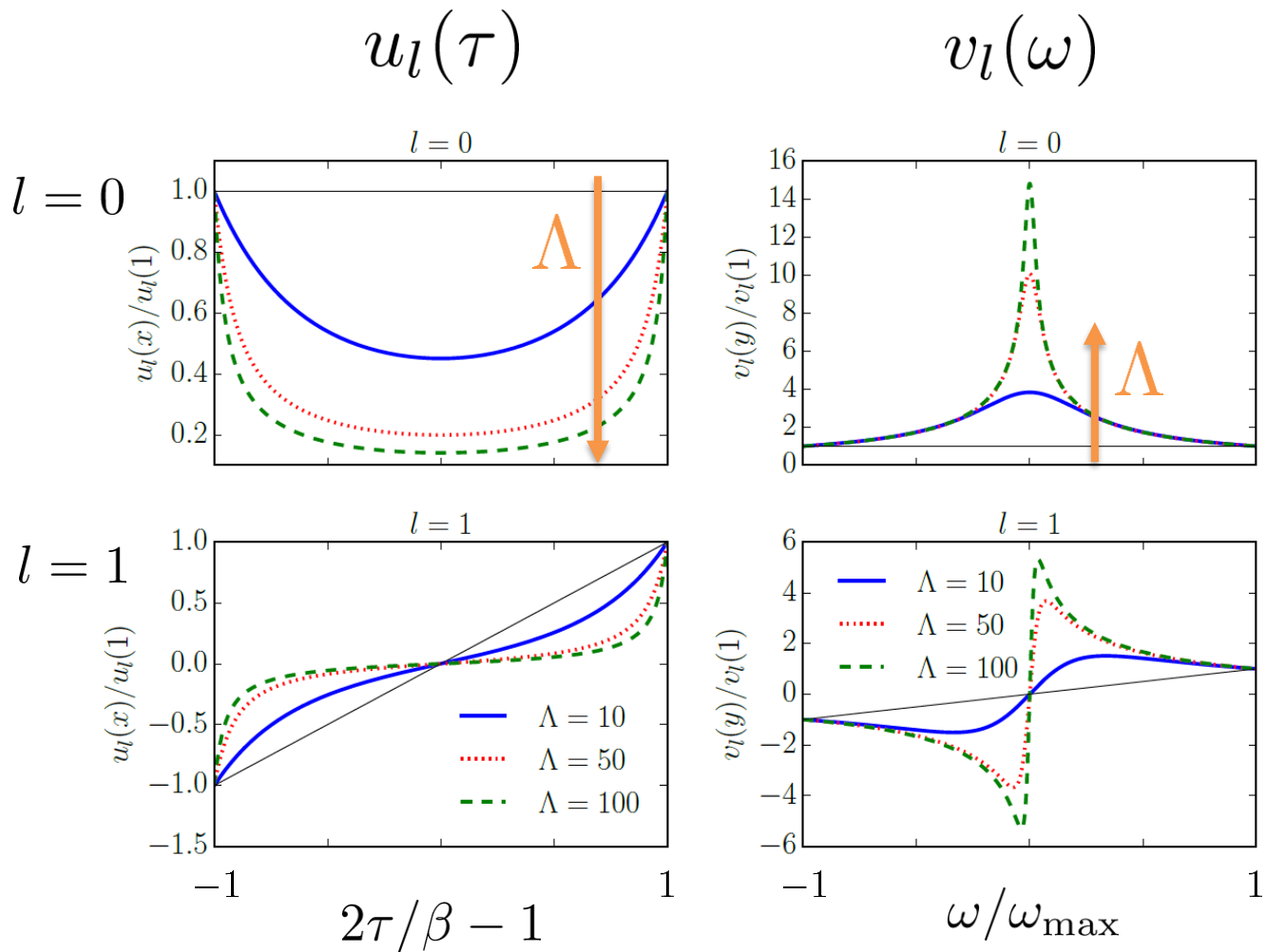
$$K(\tau, \omega) = \sum_{l=0}^{\infty} s_l u_l(\tau) v_l(\omega)$$

$\Lambda \equiv \beta \omega_{\max}$ 無次元パラメーター

離散化

連続極限

$$G = K\rho \xrightarrow{\text{SVD}} K = U S V^t$$



コントロール
パラメーター

$$\Lambda \equiv \beta \omega_{\max}$$

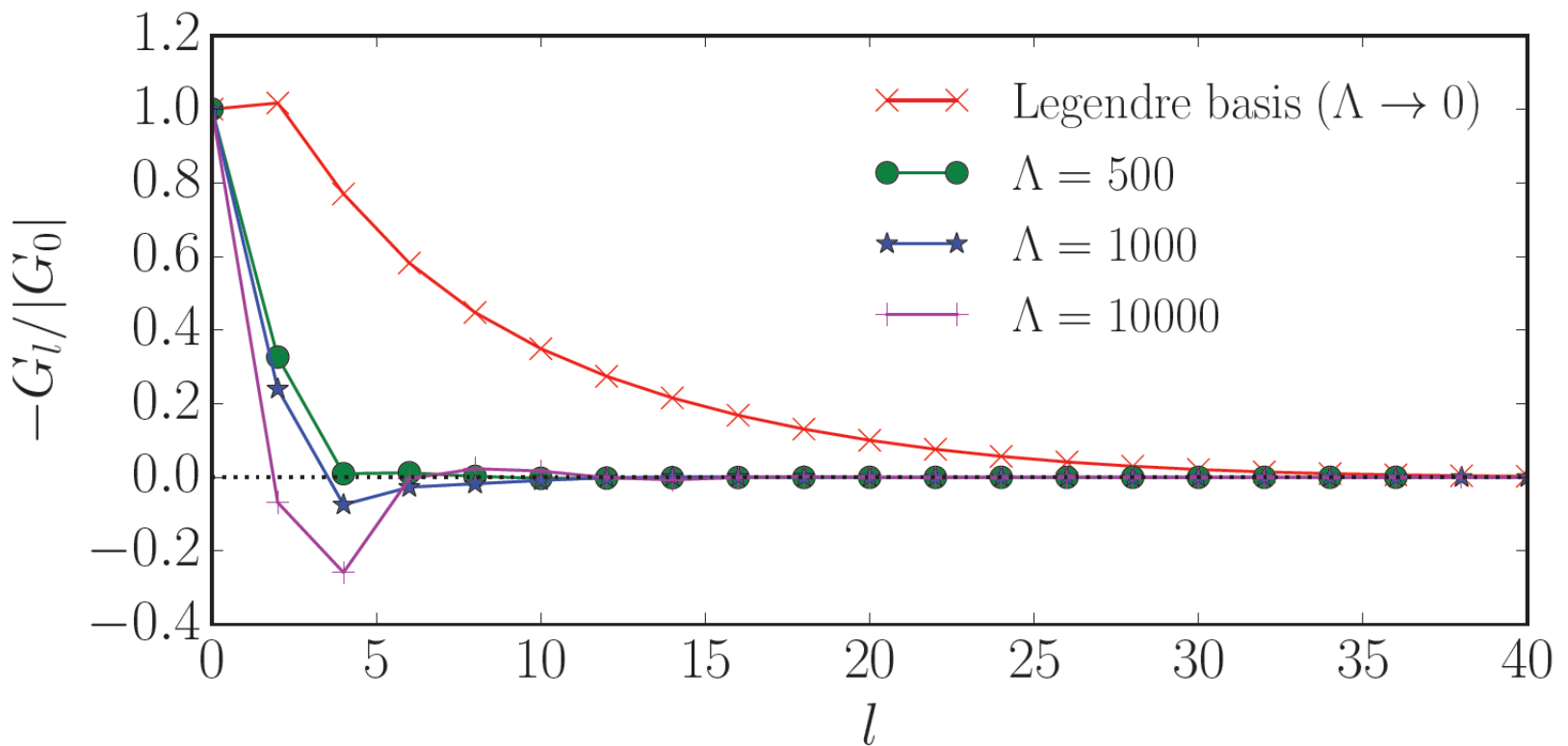
灰色：
ルジャンドル多項式

$\Lambda \rightarrow 0$ で
ルジャンドル多項式
に一致！

(高温極限)

$$G(\tau) \propto \sum_{l=0}^{\infty} G_l u_l(x)$$

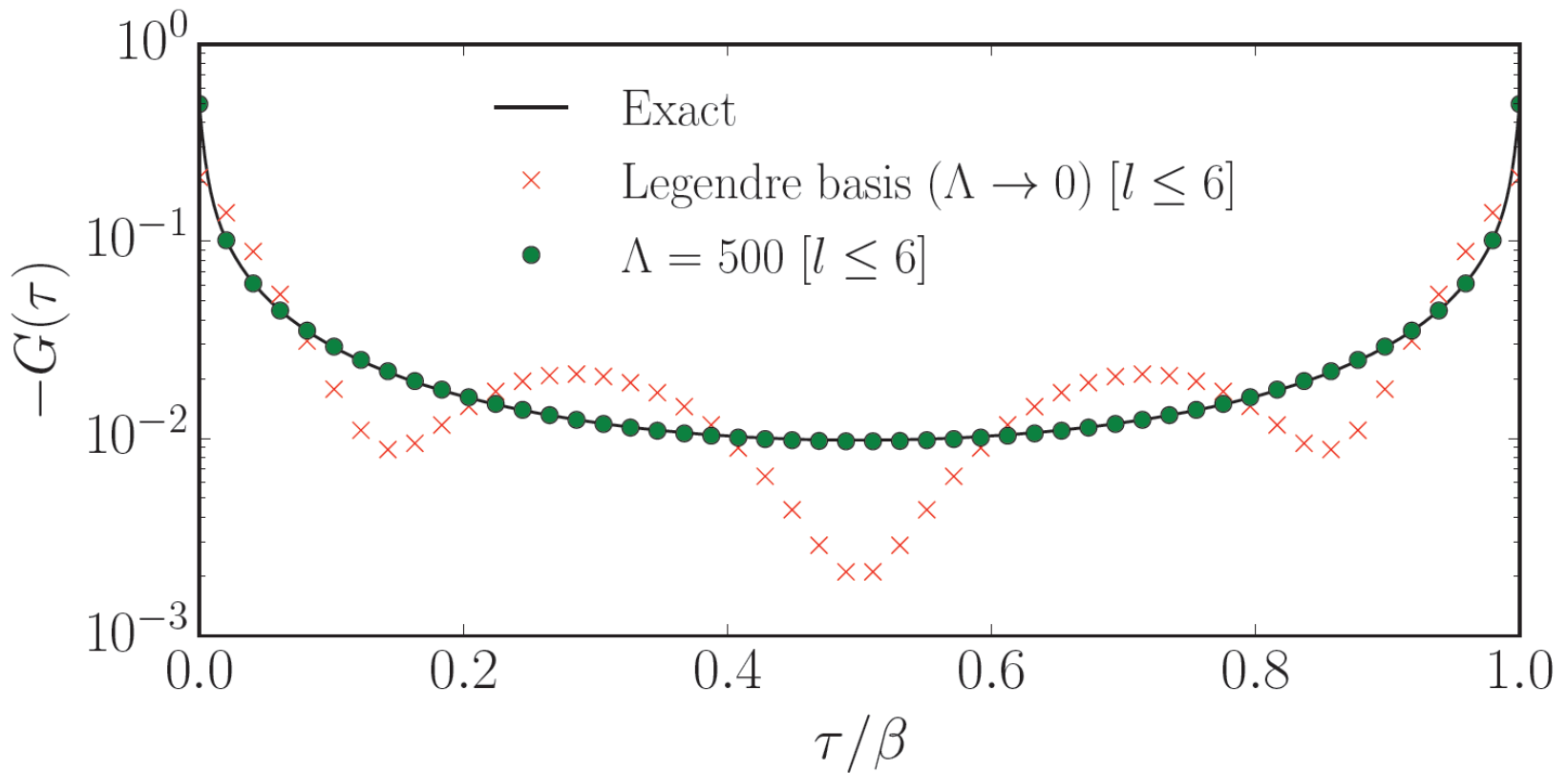
わずか5, 6要素で十分！



c.f. フーリエ表現ではべき減衰
 ルジャンドル展開 **Boehnke et al. 2011**

元の関数を再現できるか確認

$$G(\tau) = \sum_{l=0}^{l_{\text{cutoff}}} G_l u_l(x)$$

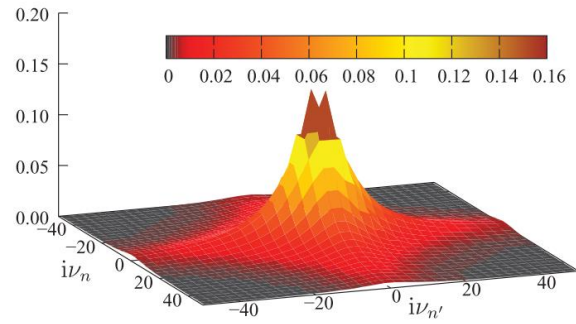


二粒子グリーン関数

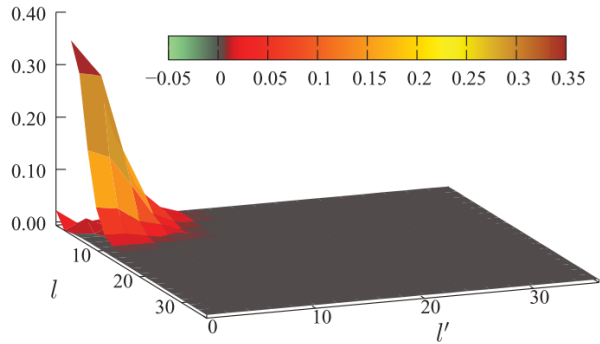
$$\chi(i\nu_n, i\nu_{n'}; i\omega_m) \rightarrow \chi_{ll'}(i\omega_m)$$

過去の研究 (Boehnke et al. 2011)

振動数



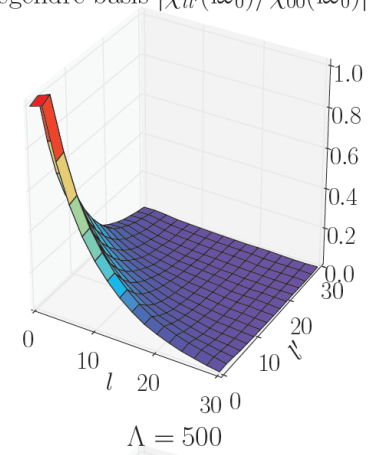
Legendre



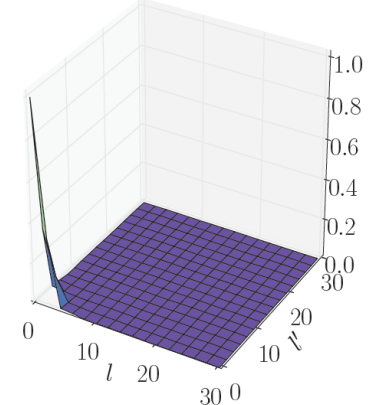
SVD基底

$\Lambda = 0$
(Legendre)

Legendre basis $|\tilde{\chi}_{ll'}(i\omega_0)/\tilde{\chi}_{00}(i\omega_0)|$



$\Lambda = 500$



Lehmann表示 (basic equation)

$$G(i\omega_n) = \int_{-\infty}^{\infty} d\omega \frac{1}{i\omega_n - \omega} \rho(\omega) \xrightarrow{\text{フーリエ変換}} G(\tau)$$



ここ

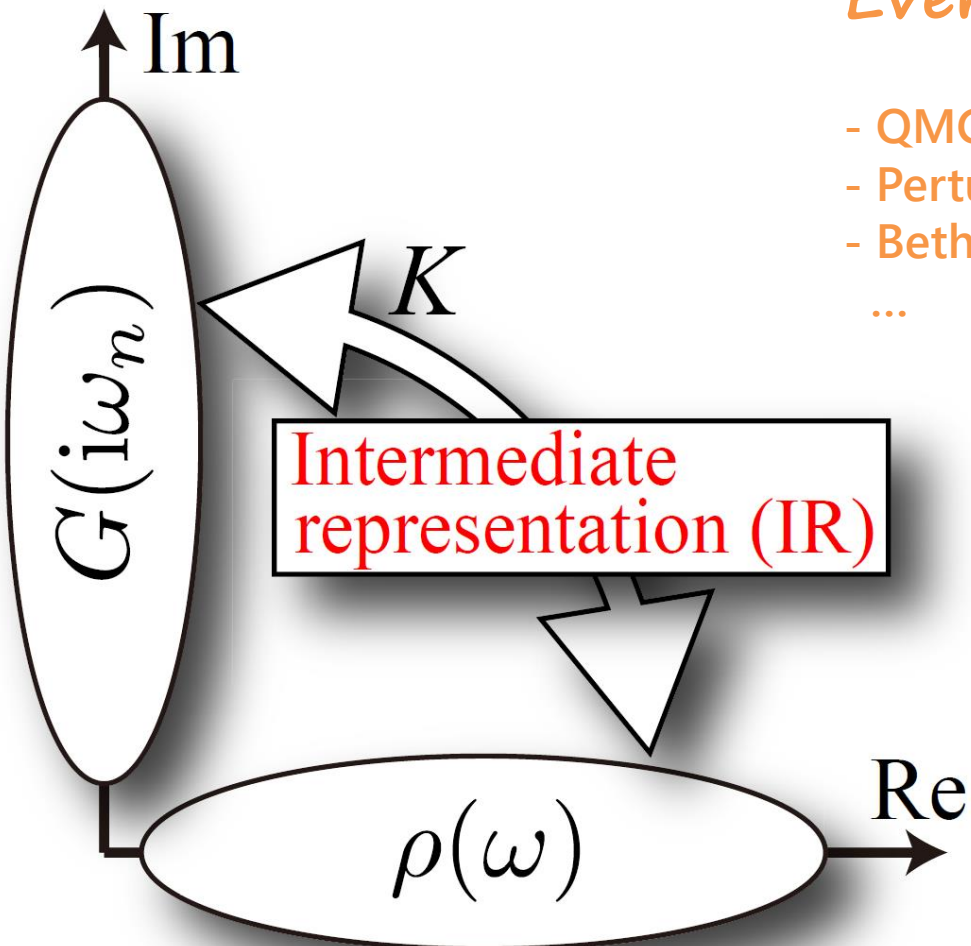
SVD

$$K = USV^t$$

c.f. SV truncation Creffield et al. 1995
Bryan method in MaxEnt Bryan 1990



スペースモデリング
=本質を抜き出す



Everything in IR basis!

- QMC measurement
- Perturbative expansion
- Bethe-Salpeter equation
- ...

- Two problems in quantum many-body calculations
 - I. 解析接続
 - II. 多体動的相関
- Our solution
 - カーネルのSVD
 - L1正則化による基底選択



スパースモデリングで本質を見抜く